

STAT

АКАДЕМИЯ НАУК ТАДЖИКСКОЙ ССР

БЮЛЛЕТЕНЬ
СТАЛИНАБАДСКОЙ
АСТРОНОМИЧЕСКОЙ
ОБСЕРВАТОРИИ

№ 14

ИЗДАТЕЛЬСТВО АКАДЕМИИ НАУК ТАДЖИКСКОЙ ССР
СТАЛИНАБАД

— 1955 —

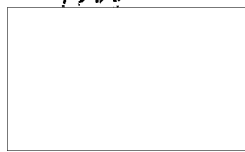
STAT

АКАДЕМИЯ НАУК ТАДЖИКСКОЙ ССР

БЮЛЛЕТЕНЬ
СТАЛИНАБАДСКОЙ АСТРОНОМИЧЕСКОЙ
ОБСЕРВАТОРИИ

№ 14

ИЗДАТЕЛЬСТВО АКАДЕМИИ НАУК ТАДЖИКСКОЙ ССР
СТАЛИНАБАД
1955



STAT

АКАДЕМИЯИ ФАНХОИ РСС ТОЧИКИСТОН

БЮЛЛЕТЕНИ
ОБСЕРВАТОРИЯИ АСТРОНОМИИ СТАЛИНОБОД

№ 14

3

НАШРИЁТИ АКАДЕМИЯИ ФАНХОИ РСС ТОЧИКИСТОН
СТАЛИНОБОД
1955

СЕРГЕЙ ВЛАДИМИРОВИЧ ОРЛОВ

(к 75-ти летию со дня рождения)

В августе 1955 г. исполняется 75 лет со дня рождения лауреата Сталинской премии, члена - корреспондента Академии наук СССР, профессора Сергея Владимировича Орлова.

С. В. Орлов родился 18 августа 1880 г. в г. Москве в семье врача. В 1902 г., еще будучи студентом Московского университета, он начал работу на обсерватории МГУ в качестве сверхштатного ассистента. После окончания университета С. В. продолжал свою научную работу на этой же обсерватории. Его научная деятельность была прервана русско-японской войной. По окончании войны С. В. поступил на должность преподавателя математики в 1-ю мужскую гимназию г. Москвы. С этого времени начинается самостоятельная работа С. В. по механической теории кометных форм. Основываясь на исследованиях выдающегося русского ученого академика Ф. А. Бредихина и развивая его идеи, С. В. Орлов достиг в этой области астрономии замечательных успехов.

С 1920 по 1922 г.г. С. В. заведывал двумя кафедрами Пермского государственного университета, где вел большую общественную и педагогическую работу.

В 1922 г. С. В. начал работу в качестве профессора МГУ. Вся дальнейшая научная, педагогическая и общественная деятельность С. В. Орлова по настоящее время тесно связана с именем этого выдающегося центра советской науки.

В результате многолетней, кропотливой исследовательской работы С. В. создал теорию кометных форм, включающую в себя и теорию головы кометы в той форме, в которой она в настоящее время получила всеобщее признание.

В 1913 г. С. В. предложил закон, связывающий блеск комет с их расстоянием от солнца. Тогда же он убедительно показал, что блеск комет тесно связан с солнечной активностью. Эти идеи составляют основу современной физической теории комет. Они не потеряли своего значения и в настоящее время.

Большое космогоническое значение имеют работы С. В., касающиеся происхождения и эволюции комет, и установления тесной связи между кометами, метеоритами и астероидами. В недавно опубликованных работах С. В. показано, что между метеорами, метеоритами и астероидами не существует принципиального различия и что эти малые тела Солнечной системы генетически связаны между собой и являются обломками планеты, некогда существовавшей между орбитами Марса и Юпитера.

Являясь крупнейшим специалистом по кометной астрономии, известным не только в СССР, но и далеко за его пределами, С. В. опубликовал ряд важных работ и по метеорной астрономии. Эти работы имеют первостепенное значение для разработки одной из основных научных проблем Сталинабадской обсерватории Академии наук Таджикской ССР.

Сергей Владимирович Орлов в течение ряда лет был научным руководителем и консультантом по кометно-метеорной астрономии Сталинабадской обсерватории. За этот период им воспитан ряд специалистов, которые в настоящее время являются самостоятельными исследователями. И сейчас научные работники обсерватории получают у С. В. исчерпывающую консультацию по кометно-метеорной астрономии.

Коммунистическая партия и советское правительство высоко оценили заслуги С. В. Орлова как выдающегося учёного, педагога и общественного деятеля, наградив его двумя орденами Трудового Красного знамени и медалью „За доблестный труд в Великой Отечественной войне“.

За книги „Кометы“, „Природа комет“, „Голова кометы и новая классификация кометных форм“, в которых подводится итог многолетних исследований, С. В. Орлов в 1943 г. удостоен высокого и почетного звания лауреата Сталинской премии.

.7. АКАДЕМІВ

НЕКОТОРЫЕ ЗАКОНОМЕРНОСТИ В КОМЕТАХ, МЕТЕОРАХ И АСТЕРОИДАХ

1. В 1931 г. С. К. Всехсвятский опубликовал подробное исследование, посвященное изучению статистических соотношений в системе комет и астероидов [1]. Автор этой работы приходит к выводу об общности условий их происхождения и указывает на то, что эти гемы могли образоваться в результате взрыва на поверхности планет. С. К. Всехсвятский отмечает при этом, что астероиды следует рассматривать как позднюю стадию в эволюции комет.

К подобному выводу относительно природы астероидов несколько позднее приходит и Н. С. Самойлова-Яхонгова [2], которая полагает, что астероиды как небесные тела по существу ничем не отличаются от комет и "мертвые" кометы, т. е. кометы, лишившиеся своей газовой оболочки, открываются как астероиды. В качестве примера приводится комета Неуймин I (1913 III).

Несколько иного взгляда на связь комет с астероидами придерживался И. И. Путилин [3]. Статистическое изучение орбит комет и астероидов привело его к заключению о том, что полного тождества здесь не имеется, но элементы орбит комет как бы дополняют некоторые элементы орбит астероидов, и, следовательно, между их орбитами существует известный переход. И. И. Путилин считал наиболее приемлемой точкой зрения для объяснения связи комет с астероидами гипотезу С. В. Орлова, согласно которой кометы образуются в результате столкновений астероидов с крупными метеоритами.

А. Д. Дубяго, однако, полагает, что никакой связи между кометами и астероидами нет, если не брать ее в отдаленном и косвенном космогоническом смысле [4]. Этот взгляд основан на том, что астероиды не могут походить на "большие комья загрязненного льда", каковыми представляются ядра комет. А. Д. Дубяго высказывает также сомнение и по поводу связи комет с метеорами. Таким образом видим, что в настоящее время не имеется общепризнанной точки зрения в вопросе о связи между перечисленными малыми телами солнечной системы. Здесь, вероятно, было бы уместно отметить, что до последнего времени, как правило, метеорной материи при изучении взаимосвязи между этими телами отводится весьма скромное место. Между тем имеются основания полагать, что она играет далеко не последнюю роль в эволюции межпланетной среды. Поэтому представляется не бесполезным рассмотреть некоторые данные из метеорной астрономии в связи с вопросом о связи и происхождении малых тел солнечной системы.

2. Недавно Ф. Уиппл опубликовал сводку орбит 144 метеоров, сфотографированных в Гарвардской обсерватории [5]. В Сталинабад-

ской обсерватории вычислены орбиты 63 сфотографированных метеоров. Всего, таким образом, мы имеем 207 орбит, из которых 80 принадлежат спорадическим метеорам. Следовательно, уже сейчас мы располагаем сравнительно большим наблюдательным материалом, чтобы подвергнуть его статистической обработке и сравнить его с данными статистического изучения комет и астероидов.

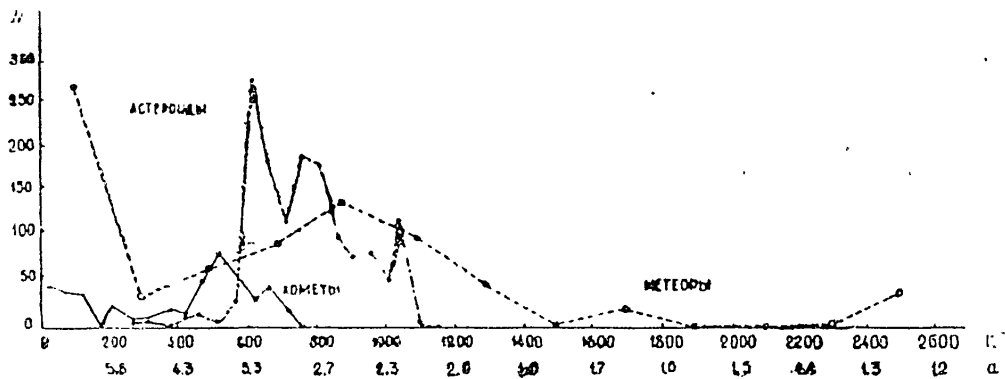


Рис. 1. Распределение больших полуосей орбит (собственных движений) комет, метеоров и астероидов. Числа комет и метеоров увеличены в 10 раз. Распределения для комет и астероидов даны по Н. И. Путилину.

На рис. 1 представлено распределение больших полуосей (средних движений) астероидов, коротконепериодических комет (63 кометы) и спорадических метеоров.

Из этого рисунка можно видеть одну интересную особенность. Если не считать кометы Энке-Баклунида, большая полуось орбиты которой равна 2,2 а. е. не нанесенной на этот график, то можно сделать заключение об отсутствии комет с большими полуосами орбит меньшими 2,7 а. е. Между тем известно достаточно большое число астероидов, спорадических метеоров и даже метеорных потоков, большие полуоси орбит которых значительно меньше этой величины. Этот факт нам не кажется случайным. Согласно подсчетам А. Д. Дубяго [4] и С. К. Всехсвятского [6] коротконепериодические кометы с каждым прохождением около Солнца теряют значительную долю своей первоначальной массы. Так, для кометы Энке С. К. Всехсвятский нашел, что за один оборот она теряет около $4 \cdot 10^9$ г своего газового материала. Подобные кометы через очень небольшой промежуток времени, порядка нескольких десятков тысяч лет, полностью утратят свой газовый запас и превратятся в метеорные потоки. Интересным в этом отношении является метеорный поток Геминид. Несмотря на тщательное изучение его до последнего времени не удается связать ни с какой кометой. Возможно, что он как раз является продуктом уже распавшейся кометы. Отсюда, между прочим, следует, что комета Энке-Баклунида должна быть "нестарой". Последний термин нужно, однако, понимать не в смысле времени протекшего от момента образования, а лишь с того времени, когда комета стала короткопериодической [7]. Вторая особенность распределения больших полуосей состоит в том, что астероидов с большими полуосами орбит $> 5,7$ а. е. нет совсем. Только лишь Гидальго имеет $a = 5,79$ а. е. Но метеоры и кометы могут иметь очень большие a . Таким образом видим, что орбиты метеоров как бы перекрывают собой и орбиты комет и орбиты астероидов.

На рисунке 2 приведено распределение углов эксцентриситетов. Сплошной линией дано распределение для астероидов, крестиками отмечены кометы и пунктиром — спорадические метеоры. Видим, что если эксцентриситеты астероидов, как правило, всегда меньше 0,5, то

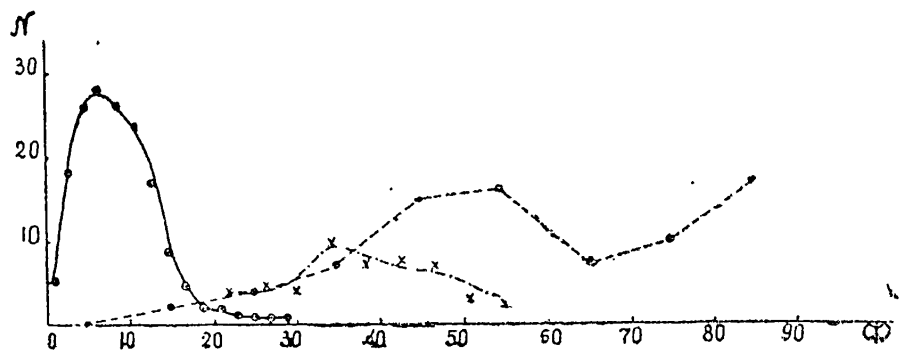


Рис. 2. Распределение комет, метеоров и астероидов по величинам углов эксцентриситета Гаспределения для комет и астероидов даны по И. Н. Путилину.

метеоры, напротив, обладают значительно большими эксцентриситетами. Процент орбит с $e < 0,5$ для них очень невелик. В этом отношении метеоры больше напоминают кометы, хотя существуют и астероиды, для которых $e \gg 0,5$. Таких астероидов 7, т. е. около 0,8%.

Распределение орбит по наклонениям дано в таблице 1 [3]

Таблица 1

Наклонение	Асте- роиды	Кометы	Мете- оры	Накло- нение	Асте- роиды	Кометы	Мете- оры	Накло- нение	Асте- роиды	Кометы	Мете- оры
0°—1°	292	5	6	60°—61°	—	—	—	120°—121°	—	—	—
4—8	131	8	7	61—68	—	—	—	124—128	—	—	1
8—12	378	11	9	68—72	—	—	—	128—132	—	—	1
12—16	259	11	9	72—76	—	1	—	132—136	—	—	2
16—20	97	6	10	76—80	—	—	—	136—140	—	1	2
20—24	63	4	6	80—81	—	—	—	110—141	—	—	1
24—28	32	2	3	81—88	—	—	—	111—148	—	—	1
28—32	4	6	2	88—92	—	—	2	148—152	—	—	—
32—36	7	—	1	92—96	—	—	—	152—156	—	—	—
36—40	1	—	1	96—100	—	—	1	156—160	—	—	1
40—44	1	1	1	100—101	—	—	2	160—161	—	2	2
44—48	—	—	—	104—108	—	—	2	164—168	—	—	1
48—52	—	—	—	108—112	—	—	2	168—172	—	—	—
52—56	—	—	1	112—116	—	—	3	172—176	—	—	—
56—60	—	—	1	116—120	—	—	—	176—180	—	—	2

И в этом случае распределение наклонений метеорных орбит скорее напоминает распределение орбит комет. Мы не привели здесь данных о метеорных потоках. Они не изменят результата. Сведения о 16 наиболее изученных метеорных потоках даны в таблице 2.

Таблица 2

Название потока	<i>a</i>	<i>i</i>	<i>e</i>	Название потока	<i>a</i>	<i>i</i>	<i>e</i>
Персейиды	2,3	115°	0,96	Тауриды	2,2	4° 5	0,84
Лониды	10,1	163	0,10	δ—Аквариды	1,5	24	0,96
Лериды	55,6	80	1 °	Квадрантиды	1,8	67	0,46
Геминиды	1,4	21	0,90	β—Тауриды (дневной)	2,4	7	0,86
γ Аквариды	18	162	0,97	Урсиды	5,9	52,5	0,85
Ориониды	18	162	1 °	ζ—Персейиды (дневной)	1,6	5	0,80
Дракониды	3,5	31	0,71	Арнетиды (дневной)	1,7	18	0,94
Ингиды	1,1	35	0,76	Вергиниды	3,6	5,5	0,89

3. В недавно опубликованной работе Уиппл [5] вводит так называемый *K*—критерий, согласно которому все метеоры по своему происхождению делятся на кометные и астероидные. Он имеет вид

$$K = \lg \left| \frac{a(1-e)}{1-e} \right| - 1,$$

где *a* и *e* — большая полуось и эксцентриситет орбиты. Введение этого критерия является до некоторой степени условным. Уиппл сам отмечает, что он воспользовался им для того, чтобы разрубить „Гордеев узел“.

Приналежность к тому или иному виду объектов определяется соотношением:

$$K > 0, \text{ кометы}; \quad K < 0, \text{ астероиды}.$$

Этому критерию удовлетворяют почти все астероиды. Только лишь три составляют исключение: Гидальго (*K*=+0,44), Адонис (*K*=+0,14), Икар (*K*=+0,06), т. е. как раз те астероиды, которые по характеру движения весьма близко напоминают движения короткопериодических комет. Из 66 короткопериодических комет, изученных Уипплом, с *a* < 8,62 *a*. *e*. 16 комет или 24% этому критерию не удовлетворяют. Если с точки зрения этого критерия рассмотреть все кометы, то оказывается, что ему удовлетворяют 96% комет. Уиппл применил этот критерий и к орбитам метеоров, вычисленным в Гарвардской обсерватории. Только лишь два метеорных потока попадают в область, где *K* < 0, т. е. область астероидов, остальные располагаются в области, где *K* > 0. Для 25 орбит спорадических метеоров, определенных в Станинабадской обсерватории, 6 имеют *K* < 0 и 19 *K* > 0, т. е. если рассматривать *K*—критерий в том смысле, который ему присваивает Уиппл, около 25% наших метеоров окажутся связанными с астероидами и 75% с кометами.

Рассматривая взаимосвязь между метеорами и астероидами не безинтересно привести таблицу 3.

Таблица 3

	v_g км/сек	v_h км/сек	q	a	e	p	i°	Источник
Болид 24/I-34 . . .	16, 4	34, 8	0,69	1,54	0,55	1,92	7,0	[8]
Метеор 14/XII-49 . .	16, 2	34,95	0,69	1,53	0,55	1,89	8,6	[9]
Апплон			0,65	1,49	0,57	1,81	6,4	[3]
Метеор 1/IX-51 . . .	9,87	35, 6	0,98	1,80	0,46	2,42	10,7	[10]
Метеор 24/XII-52 . .	11, 0	35, 4	1,03	1,80	0,43	2,42	16,3	[11]
Амур (1221)			1,08	1,92	0,44	2,67	11,9	[3]

Данные этой таблицы свидетельствуют о том, что астероиды и метеорные тела могут двигаться по орбитам совершенно одинакового вида. Таким образом по характеру движений метеоры, с одной стороны, очень напоминают кометы, с другой — астероиды, которые в свою очередь, как уже отмечалось, дополняют друг друга и, следовательно, можно думать, что принципиального различия в характере их движений нет.

4. Более сложным является вопрос о физическом строении комет, метеорных тел и астероидов. Наличие газовых оболочек и хвостов у комет существенно отличает их от других небесных тел. Но известны и такие кометы, у которых газовая компонента очень мала. Сюда прежде всего относятся кометы Неуймин 1 (1913 III) и Холмса, которые почти совершенно лишены газовой оболочки. С другой стороны, известны и такие случаи, когда у астероидов наблюдались слабые туманные оболочки (Церера, Паллада, Юнона, Океана, Эльза, Герта), а по характеру движений кометы Швассмана-Вахмана и Отерма в сущности ничем не отличаются от астероидов. Приведенные факты очень малочисленны, но ими нельзя пренебрегать при изучении взаимосвязи между этими телами, как это делал И. И. Путилин [3].

Иначе обстоит дело с метеоритами и астероидами. Работами С. В. Орлова [12, 13] и В. Г. Фесенкова [14] показано, что в физическом строении этих тел нет никакого различия. В. Г. Фесенков [14] даже указывает на то, что: „Лишь чисто феноменологически астероид считается космическое тело, которое можно наблюдать индивидуально при его движении в планетной системе, а метеоритом является то же тело лишь после падения на земную поверхность“. Это мнение в настоящее время является наиболее распространенным. Все дело в массах.

Очень мелкие астероиды поперечником в несколько десятков метров не доступны современным средствам наблюдения и потому их непосредственное изучение возможно лишь тогда, когда они выпадают на поверхность Земли в виде метеоритов. Еще более мелкие частицы, размерами в несколько сантиметров, нацело испаряются при движении в земной атмосфере и не дадут выпадения метеоритов. При движении такого тела в атмосфере мы увидим лишь болид, т. е. то явление, которое только условно неравнозначно метеору. Что касается непосредственных данных о химическом составе метеорных частичек, то из спектральных наблюдений известно, что они могут быть либо каменистыми, либо железными частицами, т. е. состоят из тех же элементов, что и метеориты. Недавно, однако, Яккия, Копал и Мил-

Таблица 3

	v_g км/сек	v_h км/сек	q	a	e	p	i°	Источник
Болид 24.I-31 . . .	16, 4	34, 8	0,69	1,54	0,55	1,92	7,0	[8]
Метеор 14/XII-49 . .	16, 2	34,95	0,69	1,53	0,55	1,89	8,6	[9]
Аполлон			0,65	1,49	0,57	1,81	6,4	[3]
Метеор 1/IX-51 . . .	9,87	35, 6	0,98	1,80	0,46	2,42	10,7	[10]
Метеор 24/XII-52 . .	11, 0	35, 4	1,03	1,80	0,43	2,42	16,3	[11]
Амур (1221)			1,08	1,92	0,44	2,67	11,9	[3]

Данные этой таблицы свидетельствуют о том, что астероиды и метеорные тела могут двигаться по орбитам совершенно одинакового вида. Таким образом по характеру движений метеоры, с одной стороны, очень напоминают кометы, с другой — астероиды, которые в свою очередь, как уже отмечалось, дополняют друг друга и, следовательно, можно думать, что принципиального различия в характере их движений нет.

4. Более сложным является вопрос о физическом строении комет, метеорных тел и астероидов. Наличие газовых оболочек и хвостов у комет существенно отличает их от других небесных тел. Но известны и такие кометы, у которых газовая компонента очень мала. Сюда прежде всего относятся кометы Неуймин 1 (1913 III) и Холмса, которые почти совершенно лишены газовой оболочки. С другой стороны, известны и такие случаи, когда у астероидов наблюдались слабые туманные оболочки (Церера, Паллада, Юнона, Океана, Эльза, Герта), а по характеру движений кометы Швассмана-Вахмана и Отерма в сущности ничем не отличаются от астероидов. Приведенные факты очень малочисленны, но ими нельзя пренебрегать при изучении взаимосвязи между этими телами, как это делал И. И. Путилин [3].

Иначе обстоит дело с метеоритами и астероидами. Работами С. В. Орлова [12, 13] и В. Г. Фесенкова [14] показано, что в физическом строении этих тел нет никакого различия. В. Г. Фесенков [14] даже указывает на то, что: „Лишь чисто феноменологически астероидом считается космическое тело, которое можно наблюдать индивидуально при его движении в планетной системе, а метеоритом является то же тело лишь после падения на земную поверхность“. Это мнение в настоящее время является наиболее распространенным. Все дело в массах.

Очень мелкие астероиды поперечником в несколько десятков метров не доступны современным средствам наблюдения и потому их непосредственное изучение возможно лишь тогда, когда они выпадают на поверхность Земли в виде метеоритов. Еще более мелкие частицы, размерами в несколько сантиметров, нацело испаряются при движении в земной атмосфере и не дадут выпадения метеоритов. При движении такого тела в атмосфере мы увидим лишь болид, т. е. то явление, которое только условно неравнозначно метеору. Что касается непосредственных данных о химическом составе метеорных частиц, то из спектральных наблюдений известно, что они могут быть либо каменистыми, либо железными частицами, т. е. состоят из тех же элементов, что и метеориты. Недавно, однако, Яккия, Копал и Мил-

чан [15], обрабатывая фотографические наблюдения метеоров потока Драконид, связанныго, как известно, с кометой Джакобини-Циннера, пришли к выводу о том, что частички, составляющие этот поток, должны иметь малую плотность и состоят, повидимому, из какого-то легко испаряющегося материала. С другой стороны, Униппа [5], изучая фотографии метеоров потока Геминид, находит, что частички этого потока наоборот должны состоять из плотного материала. Эти заключения получены из несоответствия коэффициента пропорциональности, входящего в уравнение для определения плотности атмосферы, со стандартной кривой NASA.

5. Из изложенного можно видеть, что метеоры и по характеру движений и по своей природе весьма близко напоминают и кометы и астероиды. Можно думать поэтому, что все эти тела или имеют общее происхождение, или каким-то образом происходят одни из других. Проще всего было бы это объяснить, если считать, что все они произошли в результате распада планеты, некогда обращавшейся между орбитами Марса и Юпитера.

В. Г. Фесенковым [7] было показано, что в результате распада такой гипотетической планеты обломки массой в 10^{15} г и меньше могли быть выброшены на сколь угодно большие расстояния и, следовательно, почти параболические движения комет с этой точки зрения могут быть объяснены. В результате возмущений со стороны больших планет долгопериодические орбиты могут превратиться в короткопериодические. Гораздо труднее объяснить то обилие газов, которое наблюдается в кометах. Если же, однако, предположить, что поверхность разорвавшейся планеты полностью или частично была покрыта слоем замороженных газов, то и это затруднение могло бы быть снято. Внешние слои планеты, перемещанные со льдами, образовали ядра комет, более глубинные обломки, лишенные газовой компоненты, явились материалом, из которого образовались астероиды, а мелкораздробленное вещество и внешних и внутренних частей планеты явилось источником образования метеоритов и метеоров. В результате дальнейшей эволюции комет: исчезание газовой компоненты при многократном обращении около Солнца, „бомбардировка“ поверхности ядер мелкими метеоритными телами образовались метеорные потоки, связанные с кометами. Такой „бомбардировке“ подвергались и подвергаются и астероиды, которые также могут быть источником метеоров. Роль столкновений частиц межпланетной среды в процессе образования метеоров, повидимому, велика. Согласно результатам специальных исследований, выполненных в последнее время в США [16], ракета V-2 на высотах больших 40 км испытывает один удар микрометеорита каждые 2 секунды. Последний результат нуждается в проверке, ибо он приводит к непомерно большой доле метеорной магерии, привносимой на Землю, тем не менее он указывает на то, что пренебрегать фактором столкновений при изучении механизма образования метеоров нельзя.

Л И Т Е Р А Т У Р А

1. С. К. Всехсвятский, АЖ, 11, 5, 437, 1934.
2. С. Н. Самойлова-Яхонтова, Успехи астроном. наук V, 136, 1950.
3. И. Н. Путилин, Малые планеты, ГИТТЛ, М., 1953.
4. А. Д. Дубяго, Труды САО, IV, 5, 1951.
5. F. Whipple, A. J. 59, 1218, 201, 1954.
6. С. К. Всехсвятский, АЖ, XXIX, 1, 63, 1952.
7. В. Г. Фесенков, АЖ, XXVIII, 2, 98, 1951.
8. Б. Ю. Левин, АЖ, XXIII, 1946.
9. Hirose a Tomita, Proceeding of the Japan Academy, 26, 6, 1950.
10. Л. А. Катасёв, А. К. Соснова, Труды САО, IV, 42, 1954.
11. А. К. Соснова, Л. А. Катасёв, Бюллетень САО, 11, 7, 1954.
12. С. В. Орлов, Метеоритика, V, 3, 1949.
13. С. В. Орлов, Вестник МГУ, 11, 1949.
14. В. Г. Фесенков, Вопросы космогонии, 11, 92, 1952.
15. L. Jachli, Z. Kopal, P. Millman, Ap. J., 111, 1, 104, 1950.
16. Новак, Реф. журн. физика, 2, 1955.

В. Н. ИВАНИКОВ

О ПОДБОРЕ ПРОЯВИТЕЛЕЙ ДЛЯ ФОТОГРАФИЧЕСКИХ СНИМКОВ МЕТЕОРОВ

Точность фотографической фотометрии метеоров зависит от контрастности проявления и величины химической вуали негатива. Химическая вуаль входит составной частью как в изображение метеора и фотометрической шкалы сравнения, так и в фон неба на негативе. В настоящее время мы не имеем возможности отличить, отделить плотность вуали от плотности фотографического изображения поскольку в изображении кристаллы, которые могли бы быть проявленными в качестве вуали, после освещения проявляются в качестве изображения, причем, чем больше плотность почернения изображения, тем меньшую долю в нем имеет плотность почернения вуали. Доля почернения вуали в фоне неба больше, чем в изображении метеора. Исключая почернение фона неба, мы допускаем, что химвудль одинаковым образом входит в след метеора и в окружающий фон, тем самым занижаем огечеты микрофотометра. Однако, делая то же самое с фотометрической шкалой сравнения, мы допущенную ошибку исключаем.

Известно, что для уменьшения химвудли в проявитель добавляются антивудлирующие вещества, например, бромистый калий, которые замедляют проявление вуали сильнее, чем проявление изображения. Очевидно, чем быстрее идет проявление изображения по сравнению с ростом вуали, тем проявитель лучше. Образование вуали обусловлено и проявителем и фотоэмульсией [1]; поэтому для каждого типа эмульсии следует выбирать проявитель, который при прочих равных условиях обеспечивает минимальную вуаль. С этой целью было проведено исследование трех наиболее распространенных в практике проявителей на пленке панхром высшей чувствительности, использованной нами в практике получения наблюдательного материала.

На сенситометре ГОИ [2] кафедры научной фотографии и кинематографии МГУ были получены сенситограммы с выдержкой 0,009 сек, близкой к выдержке, с которой получаются следы метеоров. Такая выдержка соответствует окну падающей шторки в 1 см и освещенности ослабителя 77 люксов. Проявление сенситограмм производилось в проявильном приборе при температуре 20°C в следующих проявителях:

Чибисова (№ 1)	№ 2	Свенониуса (№ 3)
Метол 1 г.	Метол 8 г.	Метол 0,37 г.
Сульфит крист. 52 г.	Сульфит крист. 250 г.	Сульфит крист. 7,41 г.
Гидрохинон 5 г.		Гидрохинон 1,48 г.
Сода кристал. 51 г.	Сода кристал. 15,5 г.	Поташ 12,96 г.
Бром. калий 1 г.	Бром. калий 2,5 г.	Бром. калий 0,37 г.
Вода 1 л.	Вода 1 л.	Вода 1 л.

На рисунке 1 (*a*, *b*, *c*) представлены кривые $\gamma(t)$, $D\vartheta(t)$ и $S(D\vartheta)$, где γ , $D\vartheta$ и S соответственно коэффициент контрастности, плотность вуали и чувствительность пленки по ГОСТу (индексы у букв—номера проявителей).

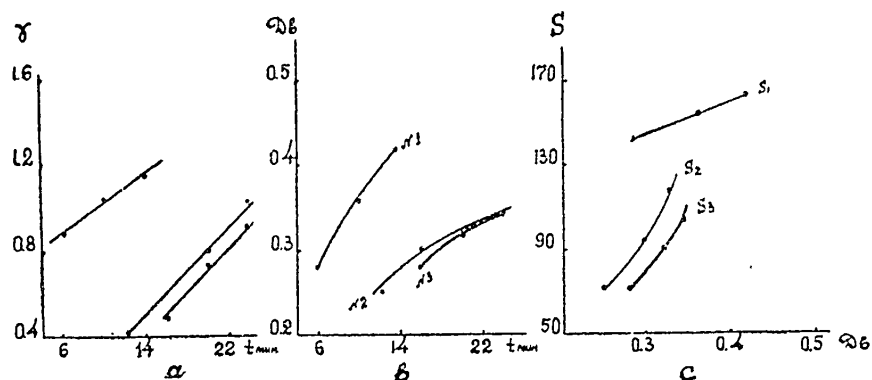


Рис. 1.

Из рисунков видно, что скорости прироста γ , $D\vartheta$ и S одинаковы для проявителей № 2 и № 3, однако проявитель № 2 лучше, чем № 3, поскольку при одинаковом значении химвуали γ и S у этого проявителя систематически больше, чем у проявителя Свенониуса.

Свойства проявителя Чибисова резко выделяются. Скорость роста γ_2 больше, чем γ_1 , так, например, если $D\vartheta = 0,3$ имеем — $\gamma_1 = 0,93$, а $\gamma_2 = 0,66$, то для $D\vartheta = 0,35$ получим $\gamma_1 = 1,02$, а $\gamma_2 = 1,12$.

Скорость роста чувствительности с увеличением вуали у проявителя № 2 также больше чем у проявителя № 1, тем не менее в исследованном интервале продолжительности проявления чувствительность фотослоя при проявлении проявителем Чибисова больше, чем при проявлении проявителем № 2, который рекомендован фабрикой № 5, изготавлившей пленку и принят в качестве стандартного. Трудно сказать, какой из проявителей лучше: № 2 или № 1; важны как большие значения коэффициента контрастности, так и чувствительности.

Таким образом выбором проявителя можно увеличить количество проявленных следов метеоров и улучшить их качество. Для проявления снимков метеоров вместо проявителя Свенониуса, которым пользуются в САО, следует пользоваться проявителем № 2, рекомендованным фабрикой.

ЛИТЕРАТУРА

1. Миз, Теория фотографического процесса, 1949, стр. 319,
2. ГОСТ, 2817—50,

И. М. ШАХОВСКОЙ
ЦЕФЕИДЫ VW И VZ КОРМЫ

Две южные цефеиды — VW и VZ *Puppis*, для которых не имелось определений фотографической звездной величины в максимуме и минимуме, изучались по пластинкам службы неба и Галактической программы Сталинабадской астрономической обсерватории, снятых в 1940—1954 г.г.

1. VW *Pup* (62. 1931) была открыта Хоффмейстером [1]. В 1931—1935 г.г. ее исследовал Флория [2], сделавший 191 визуальное наблюдение. На основе этих наблюдений он по трем нормальным эпохам определил элементы:

$$\text{Max} = 2426710.22 + 4^d.2848 \cdot E$$

и вывел среднюю кривую блеска звезды. Амплитуда ее составляла $11^m.20 - 12^m.08$. Этой звездой занимался так же и Оостергофф [3], опубликовавший 9 эпох максимумов блеска, определенных по Гарвардским фотографиям, и период в $4^d.28405$. Однако его эпохи весьма неточны и нами при улучшении элементов почти не учитывались.

В 1946 г. Паренаго [4], используя данные Флория, Оостергоффа и наблюдения лучевых скоростей Джоя, дал новые элементы:

$$\text{Max} = 2426710.22 + 4^d.2845 \cdot E$$

VW *Pup* оценивалась на 169 сталинабадских пластинах, в том числе на 30 панхроматических. Звездные величины звезд сравнения (см. рис. 1) определялись путем привязок к *SA 123* и *Standart of Magn. for Astrograf. Cat.* [5] с координатами 8^h00^m ; $-23^{\circ}.5$. Звездные величины звезд в последнем стандарте предварительно приводились к международной системе. Привязки проводились по 6 несensiбилизированным пластиинкам, измеренным на микротометре МФ-2. Полученные средние значения звездных величин звезд сравнения выравнивались степенной шкалой. Эти выравненные значения приведены в таблице 1.

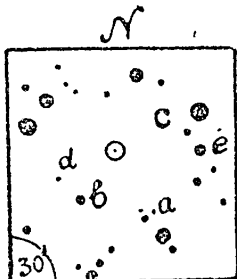


Таблица 1

<i>a</i>	$11^m.63$	$0^s.0$
<i>b</i>	$11^m.83$	$6^s.3$
<i>c</i>	$12^m.06$	$13^s.6$
<i>d</i>	$12^m.20$	$18^s.1$
<i>e</i>	$12^m.29$	$20^s.8$

Ошибка поля астрографа специально не учитывалась. Это вряд ли может существенно исказить результаты, так как, во-первых, измерения производились на пластинах с различными положениями стандарта и исследуемой области и, во-вторых, по данным предварительного исследования О. П. Васильевской [6], ошибка поля сталинабадских астрографов весьма мала вплоть до расстояния в 5 см от центра пластины. Последнее же условие выполнялось почти для всех измеренных пластинок. Как выяснилось, оценки на панхроматических пластинах не показывают систематических отклонений от оценок на неесенсибилизированных. Поэтому в дальнейшем они обрабатывались совместно.

Обработка наблюдений показала, что элементы Паренаго требуют значительных исправлений (см. таблица 2.) Определенный по нашим наблюдениям период почти точно совпал со значением, полученным Флоря. К начальной же эпохе последнего для наилучшего представления наших наблюдений необходимо придать довольно значительную поправку, равную $+0^d34$. Поправка эта объясняется, вероятно, запаздыванием максимума в фотографических лучах по сравнению с визуальными. При учете ее нами были получены следующие элементы:

$$\text{Мах} = 2433099.26 + 4^d28484 \cdot E$$

Представление этими элементами (а также элементами Паренаго) всех наблюдавшихся эпох показано в таблице 2. В столбцах ее последовательно приведены: 1) нормальная эпоха; 2) E относительно наших элементов; 3) О—С относительно элементов Паренаго; 4) О—С₁ относительно наших элементов с учетом поправки в 0^d34 , прибавляющейся к значениям О—С для всех визуальных эпох; 5) число наблюдений, использованных для получения данной нормальной эпохи; 6) наблюдатель (О—Оостергофф, Ф—Флоря, Ш—Шаховской).

Таблица 2

<i>J.D.</i>	<i>E</i>	<i>O—C</i>	<i>O—C₁</i>	<i>n</i>	Наблю- датель
2424379.26:	— 2035	— 0 ^d 19:	— 0 ^d .35:	9	О
26710.22	— 1191	0 .00	0 .00	40	Ф
27040.16	— 1411	± 0 .03	+ 0 .01	71	Ф
27849.98	— 1225	± 0 .09	— 0 .01	20	Ф
29872.77	— 753	± 0 .60	0 .00	45	Ш
23099.26	0	± 0 .79	0 .00	54	Ш
34509.08:	+ 329	± 0 .90:	+ 0 .11:	20	Ш

Эпоха Оостергоффа получена как среднее из его 9 весьма неточных моментов, определенных лишь по одной пластинке. Повидимому случайно она прекрасно согласуется с нашей визуальной системой элементов.

С полученными элементами была построена средняя кривая блеска, приводящаяся в таблице 3 и изображенная на рис. 2.

Таблица 3 (p — вес)

N	f	m	n	p	N	f	m	n	p	N	f	m	n	p
1	$0^p.004$	$11^m.78$	9	7.0	6	$0^p.175$	$11^m.96$	9	7.5	11	$0^p.634$	$12^m.18$	10	7.5
2	$0 .041$	$11 .89$	9	7.0	7	$0 .236$	$11 .95$	7	7.0	12	$0 .752$	$12 .14$	9	7.0
3	$0 .063$	$11 .89$	9	7.0	8	$0 .343$	$12 .09$	9	7.5	13	$0 .842$	$12 .09$	9	7.0
4	$0 .104$	$11 .89$	7	7.0	9	$0 .419$	$12 .07$	8	7.0	14	$0 .899$	$12 .11$	9	8.0
5	$0 .128$	$11 .91$	9	7.5	10	$0 .485$	$12 .17$	10	7.0	15	$0 .962$	$11 .96$	8	8.0

При построении средней кривой неуверенные оценки брались с половинным весом. Четыре наиболее отклоняющихся наблюдения были отброшены.

Из получившейся кривой следует: $m_{max} = 11^m.8$; $m_{min} = 12^m.2$; $A = 0^m.4$; $M - m = 0^p.4$. Средняя эпоха ее $J. D. = 2432109.46$; $O - C = 0^d.00$.

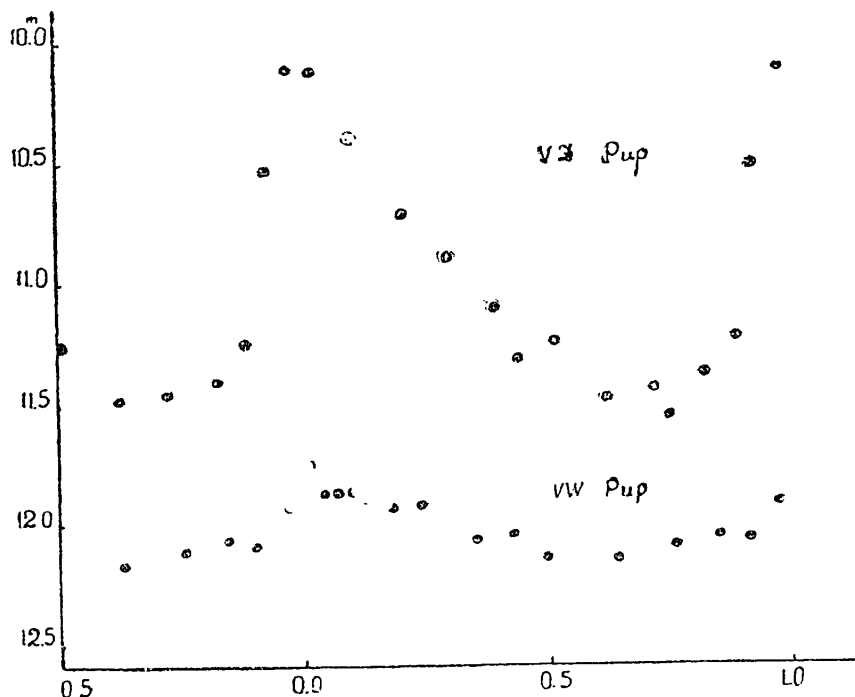


Рис. 2.

Звездная величина в минимуме, а следовательно и амплитуда, и асимметрия определяются неуверенно, так как в минимуме звезда столь слаба, что может быть уверенно оценена лишь на очень небольшом числе пластиинок.

Все наши наблюдения $VW Pup$ приводятся в таблице 6.

2. $VZ Pup$ (63.1929). Эта звезда также открыта Хоффмейстером

[7] и наблюдалась Флоря [2], давшим на основании 116 визуальных оценок тех же лет элементы

$$\text{Max} = 2426780.65 + 23^d.162 \cdot E$$

и амплитуду $9^m.68 - 11^m.02$

В 1952 г. ван-Хоутен [8] опубликовал новые элементы:

$$\text{Max} = 2428981.43 + 23^d.166 \cdot E$$

и визуальную амплитуду $9^m.6 - 11^m.0$.

Нами получена 151 оценка блеска $VZ Pup$, в том числе 25 оценок на панхроматических пластинах. Звездные величины звезд сравнения (см. рис. 3) определялись привязкой к *Stand. of magn. for Astrograf. Cat.* $8^h00^m; -23^{\circ}.5$ на 6 несенсибилизированных пластинах. Выравненные значения величин приведены в таблице 4.

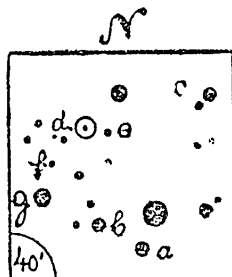


Рис. 3.

Таблица 4

<i>g</i>	$9^m.74$	$0^{st}.0$
<i>a</i>	10.16	8.5
<i>b</i>	10.52	15.8
<i>c</i>	10.76	20.7
<i>d</i>	11.26	30.6
<i>e</i>	11.44	34.1
<i>f</i>	11.64	38.1

Сравнение оценок на панхроматических и несенсибилизированных пластинах показало, что первые ложатся систематически выше. После признания к ним поправки, равной $+12^{st} = 0^m.60$ никаких систематических отклонений не наблюдалось и далее все наблюдения обрабатывались вместе.

Все наши наблюдения $VZ Pup$ хорошо согласуются с элементами ван-Хоутена. Построенная с ними средняя кривая дается в таблице 5 и на рис. 2. Обозначения и веса те же, что и у $VW Pup$. Три сильно отклоняющихся наблюдения были отброшены.

Таблица 5

<i>N</i>	<i>f</i>	<i>m</i>	<i>n</i>	<i>p</i>	<i>N</i>	<i>f</i>	<i>m</i>	<i>n</i>	<i>p</i>
1	$0^p.024$	$10^m.18$	10	10.0	8	$0^p.619$	$11^m.51$	11	10.0
2	0 .097	10 .44	10	10.0	9	0 .717	11 .48	10	9.5
3	0 .201	10 .76	10	9.5	10	0 .751	11 .60	10	9.5
4	0 .294	10 .94	11	10.0	11	0 .822	11 .43	8	8.0
5	0 .386	11 .16	10	10.0	12	0 .883	11 .28	7	7.0
6	0 .432	11 .36	10	10.0	13	0 .924	10 .58	7	7.0
7	0 .509	11 .29	10	9.5	14	0 .979	10 .17	11	10.5

Из средней кривой можно вывести: $m_{max} = 10^m.14$; $m_{min} = 11^m.57$; $A = 1^m.43$; $M - m = 0^p.25$; $O - C = 0^a.00$,

Соответствующий этой кривой момент нормального максимума равен $J. D. 2432108.84$; $E = 135$.

Все фотографические наблюдения $VZ Pup$ даны в таблице 6.

Таблица 6

$J.D$	$VW Pup$	$VZ Pup$	$J.D$	$VW Pup$	$VZ Pup$
2429...	<i>Jpg</i>	<i>Jpg</i>	2430...	<i>Jpg</i>	<i>Jpg</i>
671.167	11 ^m .82:	(10 ^m .76	.149	(12 ^m .06	10 ^m .19
.212	11 .75	11 .62	.190	12 .22:	10 .22
.265	11 .91	11 .22	.213	12 .16:	—
686.142	12 .23	11 .26	.235	12 .13	—
.166	12 .31:	11 .19	053.213	12 .11	11 .14
.209	(12 .06	11 .56	.237	11 .91	10 .72
689.138	12 .19	11 .46	054.169	(12 .13:	—
.163	12 .19	11 .62	.191	(12 .06	—
.233	12 .23	11 .16:	055.161	(12 .06	—
691.162	—	11 .26:	.197	(12 .06	—
.185	12 .19	11 .62	.219	(12 .06	—
.251	—	10 .96:	056.169	12 .13:	—
.276	(12 .06	11 .52:	.202	(12 .19	—
692.226	11 .88:	11 .12	056.227	(12 .16	—
693.160	11 .91:	11 .14	.227	(12 .10	11 .16
.182	12 .03	11 .56	057.194	11 .88	11 .62
.205	12 .02	11 .52	.219	11 .97:	—
694.258	12 .06	11 .62	.219	11 .97:	11 .32
696.124	—	(11 .52	.240	11 .94:	—
697.119	11 .72:	11 .12	.240	11 .94	11 .16
.191	11 .75:	11 .06	.273	11 .91:	11 .11
.215	11 .82	—	2431...		
.240	12 .19:	—	137.184	—	10 .26
.240	12 .10	11 .06	138.196	—	10 .36
700.131	—	10 .29	139.212	(12 .06	10 .44
.182	12 .19:	—	143.222	—	11 .12:
.210	12 .06	—	164.174	(12 .06	11 .09
.210	(12 .19	10 .24	169.206	—	11 .24
720.156	11 .88:	—	170.165	(12 .06	11 .59
.183	12 .06:	11 .22	173.157	—	(11 .36
722.151	(12 .19	—	.185	(12 .06	11 .34
.190	—	10 .14:	.185	12 .13:	—
726.156	12 .19	—	174.163	(12 .06	—
2430...			526.167	—	(11 .26
024.142	12 .13	—	531.149	11 .88::	10 .42
042.133	—	(11 .26	.220	11 .82:	10 .32
.156	—	(11 .66	554.159	—	10 .44
046.125	(12 .10	—	557.171	—	10 .49

<i>JD</i>	<i>VW Pup</i>	<i>VZ Pup</i>	<i>JD</i>	<i>VW Pup</i>	<i>VZ Pup</i>
2131..	<i>Jpg</i>	<i>Jpg</i>	2433..	<i>Jpg</i>	<i>Jpg</i>
877.159	--	10 ^m .14	276.347	--	11 ^m .14
880.168	--	10 .49	378	11 ^m .97	--
881.153	--	10 .52	301.280	11 .96	--
903.175	--	10 .66	.328	--	11 .16
907.185	--	(10 .72	.359	11 .63:	10 .92
2432.			.359	12 .11	--
268.193	--	11 .26	302.236	11 .96	--
285.156	--	(10 .66	.260	--	12 .22
896.414	12 ^m .25	10 .26	.302	(12. 06	(11 .52
.456	12 .28:	--	323.224	--	11 .36
.456	12 .23	10 .24	.244	--	11 .56
910.208	(12 .28	--	.246	11 .97	--
.295		11 .26	328.172	12 .11	--
.328	(12 .28	11 .16	.179	12 .16	11 .56
941.285	11 .82.	10 .36	206	--	11 .09
943.272	(12 .28	10 .29	330.181	12 .31	--
971.208	11 .63	11 .06	.204	12 .34	11 .62
.215	11 .88	--	.211	12 .25	--
972.211	12 .14	11 .09	211	12 .28	11 .56
.210	12 .13	11 .02	.216	12 .00	--
973.154	12 .11	--	238	--	11 .46
.203	--	10 .96	334.141	12 .28:	--
974.175	--	10 .92	.181	(12 .19	11 .54
979.209	11 .69	11 .62	337.125	--	10 .04
.244	11 .68	11 .52	347.162	--	11 .19
.244	11 .69:	--	353.161	11 .85	--
993.138	11 .91	--	.185	--	11 .54
.141	11 .96	10 .62	354.114	12 .11	11 .76
.176	12 .14	10 .89	166	12 .10	--
.176	--	10 .31	174	12 .22	--
2433 ..			189	--	11 .56
244.103	--	10 .11	199	12 .19:	11 .62
.491	12 .19	--	.199	12 .19:	--
272.267	12 .03	--	356.149	11 .99	11 .62
273.341	12 .22:	--	.165	11 .97	--
.372	12 .22	--	.176	12 .03	11 .39
.399	--	10 .44	356.192	--	11 .39
274.336	12 .28	11 .19	.200	12 .10	--
.354	--	11 .12	358.174	--	10 .39
275.354	11 .75	--	.201	11 .94	--
.381	11 .94	--	377.140	(12 .19	11 .74
.381	11 .69	11 .16	.165	12 .19:	--

<i>JD</i>	<i>VW Pup</i>	<i>VZ Pup</i>	<i>JD</i>	<i>VW Pup</i>	<i>VZ Pup</i>
2433...	<i>J_{pg}</i>	<i>J_{pg}</i>	2434...	<i>J_{pg}</i>	<i>J_{pg}</i>
.165	12 ^m .16	11 ^m .62	089.141	—	10 ^m .44
379.143	12 .19:	—	.161	11 ^m .91	—
.167	12 .16:	—	.170	11 .78	—
.175	12 .10	—	090.175	—	11 .46
381.165	12 .25	10 .69	.196	11 .74	11 .06
.165	12 .22	—	100.190	11 .78:	—
.176	—	10 .41	.190	(12 .16	10 .24
.201	12 .16	—	.204	—	10 .06
382.149	11 .91:	10 .11	101.215	(12 .06	—
601.415	—	11 .22	.215	12 .06:	10 .14
631.309	—	11 .56	102.170	—	10 .09
.317	11 .88	—	116.158	—	11 .49
.367	11 .89	11 .62	342.117	12 .10	11 .12
.367	12 .06:	—	389.220	11 .89	—
.394	11 .92	11 .56	413.209	11 .97:	—
654.274	(12 .06	—	415.188	11 .88	—
.340	(12 .19	11 .46	419.243	11 .78	—
680.210	—	11 .59	.250	—	11 .16:
.264	—	11 .74	.292	11 .91	—
704.196	—	11 .69	425.171	12 .02	10 .19
734.130	—	(10 .56	426.178	12 .00	—
.171	11 .91	—	.208	12 .00	10 .21
.196	11 .91	—	444.135	11 .99	—
.196	11 .91	10 .62	.198	12 .06	11 .02
735.199	—	10 .52	.229	12 .13:	—
736.154	—	10 .66	415.165	11 .85	—
.221	12 .37	—	.196	11 .75	10 .96
.213	--	(10 .96	.197	—	(11 .12
746.191	11 .89	—	448.146	11 .97	—
2434...			.176	12 .00	10 .19
034.281	—	10 .34	.207	—	10 .04
.301	11 .89	10 .62	.232	—	9 .74:
040.288	12 .06	—	449.174	11 .74	—
.312	(12 .06	11 .02	.193	11 .94:	10 .09
061.154	(12 .13	—	.208	11 .75	10 .19
.190	--	11 .06	807.224	(11 .88	—
063.138	12 .03	—	826.181	—	10 .69:
.188	—	11 .11	829.165	—	11 .52
.223	11 .88	11 .22	.192	11 .91	—
073.174	—	11 .56	833.137	(11 .82	11 .69
086.152	—	11 .06	.163	(11 .88	—
088.172	--	11 .06	834.159	—	11 .76

Л И Т Е Р А Т У Р А

1. *C. Hoffmeister, A. N.*, 242, 131, 1932.
 2. *Н. ф. Флоря*, Труды ГАИШ, т. VIII, № 2, 1937.
 3. *P. T. Oosterhoff, Harv. Bull.*, № 900, 1935.
 4. *П. П. Паренаго*. ПЗ 5, 284, 1940.
 5. *H. S. Leavitt; Harv. Ann.*, 85, 1930.
 6. *О. П. Васильевская*, Бюлл. САО № 12, 1955.
 7. *C. Hoffmeister, A. N.*, 236, 233, 1929.
 8. *C. J. van Houten, Leid. Aun.*, 20, № 10, 1952.
-

А. В. СОЛОВЬЁВ
**ФОТОГРАФИЧЕСКОЕ ИССЛЕДОВАНИЕ
 RX КОЗЕРОГА**

Изменение блеска этой звезды было обнаружено мисс Лаланд [1] по фотографическим снимкам Гарвардской обсерватории. С. И. Беляевский [2] по двум снимкам Симензской обсерватории подтвердил ее переменность.

Л. Яккиа [3] на основе полученных им 42 визуальных наблюдений в 1929—30 г.г. пришел к заключению о принадлежности переменной к типу *RV* Тельца и дал предварительные элементы:

$$\min. J. D. 2426244 + 67^d.2 \cdot E.$$

П. П. Паренаго [4], обработав 86 пластинок Московской и Семенской обсерватории, и используя эпоху минимума Яккиа, значительно уточнил элементы:

$$\min. J. D. 2420741.1 + 67^d.95 \cdot E$$

Данные им фотографические величины амплитуды $\max_1 = 11^m.8$, $\max_2 = 12^m.0$, $\min_1 = 13^m.7$, $\min_2 = 12^m.5$.

М. Бейер [5] по 150 визуальным оценкам, полученным в период 1934—1939 г.г., дал ряд эпох главного и вторичного минимума, на основании которых вывел новые элементы:

$$\min. J. D. 2427972.2 + 67^d.7 \cdot E$$

Следует заметить, что за исходную эпоху М. Бейер взял вторичный минимум по отношению элементов П. П. Паренаго.

Колебание блеска в визуальных лучах по Бейеру происходит в пределах $10^m.8$ — $12^m.6$. Визуальная величина в главном минимуме $12^m.24$, вторичном минимуме $11^m.65$, в максимуме соответственно — $10^m.95$ и $11^m.10$.

Большой ряд визуальных наблюдений переменной был произведен в 1938—39 г.г. на Сталинабадской обсерватории Н. И. Гурьевым, а в 1936—37, 46 г.г. А. В. Соловьёвым. Все эти наблюдения были обработаны А. Я. Филиным [6], давшим ряд эпох главного и вторичного минимума.

Кроме того, имеется 13 оценок блеска, сделанных К. Хоффмайстером [7]. С 1939 г. переменная, повидимому, никем не наблюдалась и не появилось ни одной работы, посвященной ее исследованию. Крайне скучен материал по лучевым скоростям переменной. Известно только

ко 5 определений Джоя [8], полученных с большим интервалом времени. Данное им значение лучевой скорости очень велико и колеблется в пределах от — 122 км/сек, до — 156 км/сек. Спектр переменной по Джою G_o — G_3 хорошо согласуется с типом звезды.

В 1952—54 г.г. автором производилось систематическое фотографирование области Козерога, на пластинах Агфа НИКФИ панхром. Из полученного материала было использовано 137 пластинок. Звезды сравнения даны на прилагаемой карте и в таблице 1.

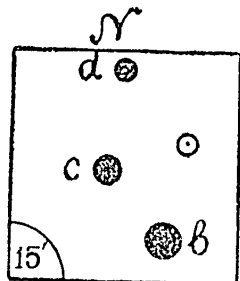


Рис. 1.

Таблица 1

Обозначение звезд	St	Привязка NPS	M_g
<i>a</i>	0.0	11 ^m .04	11 ^m .02
<i>c</i>	9.0	11 .12	11 .46
<i>d</i>	15.0	11 .90	11 .87

Определение величин звезд сравнения осуществлялось привязкой к фотовизуальной системе полярного ряда, как наиболее близкой при данном сорте пластиноч.

Такая привязка оказалась возможной благодаря впечатыванию в некоторые пластиинки, около переменной, полярного ряда. Полученные таким образом величины выравнивались степенной шкалой и их окончательное значение дано в последнем столбце таблицы 1. Переход от степенной шкалы к звездным величинам производился по формуле:

$$M_g = 11^m.00 + 0^m.056 \times St.$$

Окончательные результаты обработки были нанесены на график, в котором по оси ординат дана звездная величина, по оси абсцисс — время в днях. Построение такого графика позволило достаточно надежно определить моменты главного и вторичного минимумов, а также максимумов. Они приводятся в таблицах 2, 3, 4. Уклонения главных минимумов даны от элементов П. П. Паренаго:

$$\min_1 J. D. 2420741.4 + 67^d.95 \cdot E$$

вторичного минимума от элементов:

$$\min_2 J. D. 2420775.36 + 67^d.95 \cdot E.$$

Таблица 2

$\min_1 J. D.$	$O - C$	E	M_g
2434188.2	— 7 ^d .3	198	11 ^m .9
34254.2	— 9 .2	199	11 .7
34321.1	— 10 .3	200	11 .9
34665.1:	— 6 .0	205	11 .6
34934.3:	— 8 .6	209	11 .5
35003.1	— 7 .8	210	11 .5

Таблица 3

$min_2 J. D.$	$O - C$	E	M_g
2434293:	$-4^d.0$	199	$11^m.7$
34563	-6	203	11.6
34632	-5	204	11.9
34696:	-9	205	11.5
34903	-6	208	11.9
34968:	-9	209	11.9
35038	-7	210	11.9

Таблица 4

Max_1	M_g	Max_2	M_g
2434270	$11^m.0$	2434307	$11^m.1$
338	11.0	609	11.0
581:	11.0	681	11.0
648	10.9	918	11.0
708	10.9	983	11.0
948	10.9	35048	11.0
35015	11.0		

Полученный автором блеск переменной в максимуме и минимуме на панхроматических пластинках с привязкой к фотографической системе хорошо согласуется с визуальными определениями Бейера, за исключением главного минимума, который у него на $0^m.2$ ниже. Отклонения главных и вторичных минимумов дают возможность несколько уточнить период переменной:

$$min. J. D. 2420741.4 + 67^d.92 \cdot E.$$

Для проверки их автор использовал все известные в литературе эпохи как главных, так и вторичных минимумов.

Результаты даны в таблице 5 и 6.

Таблица 5

Автор	$min_1 J. D.$	$O - C$	$O - C'$	E
Паренаго	2420741.4	$0^d.0$	$0^d.0$	0
"	21084.4	$+3.4$	$+3.3$	5
"	24000.5	-1.0	-2.5	48
"	24682.4	$+1.7$	-0.1	58
Гурьев	24683	$+2.0$	$+0.5$	58
Якнина	26244	$+1.1$	-1.3	81
Бейер	27673:	$\div 3.8$	$+1$	102

Автор	$m_{ln_1} J. D.$	$O - C$	$O - C^1$	E
Бейер	27740:	+ 2 .9	0	103
Соловьев	28487	+ 2 .7	0	114
.	28687	- 1	- 4	117
.	32087	+ 3	- 2	167
.	34188.2	-- 1 .3	- 7 .3	198
.	34254.2	- 3 .3	- 9 .2	199
.	34321.1	- 4 .3	- 10 .3	200
.	34665.1:	0	- 6 .0	205
.	34934.3:	- 2 .1	- 8 .6	209
.	35003.1	-- 1 .5	- 7 .8	210

Таблица 6

Автор	$m_{ln_2} J. D.$	$O - C$	$O - C^1$	E
Бейер	2427977.5	+ 2d .6	- 0d 5	106
.	28044.5:	+ 1 .7	- 1 .5	107
.	28112:	+ 1	- 1 .9	108
.	28316.5:	+ 2 .0	- 1 .3	111
.	28454.3	+ 4 .0	+ 0 .6	113
.	28788:	- 1 .9	- 5	118
.	28855:	- 2	- 6	119
.	29058:	- 3	- 7	122
Гурьев	29131	+ 1	- 2	123
Бейер	29197:	0	- 4	124
Гурьев	29402	+ 0 .8	- 3	127
.	29469	0	- 4	128
Соловьев	34293:	+ 1 .6	- 4	199
.	34563	0	- 6	203
.	34632	+ 1	- 5	204
.	34696:	- 2 .9	- 9	205
.	34903	0	- 6	208
.	34968:	- 2	- 9	209
.	35038	0	- 7	210

Здесь значение $O - C$ дано от наших новых исправленных элементов, $O - C^1$ -- от элементов П. П. Паренаго. Простой просмотр столбца 4 обеих таблиц показывает необходимость уменьшения периода. Наблюдаемое небольшое отклонение объясняется недостаточной надежностью в определении как фотографических так и визуальных эпох минимумов и максимумов. Можно с полной уверенностью утверждать, что формальный период переменной за последние полвека не подвергался изменениям и определен достаточно надежно.

Выводы:

1. Смена главного минимума на вторичный и обратно не показывает никакой закономерности. Временами более глубокий вторичный минимум держится в продолжении нескольких формальных периодов, как это наблюдалось в 1954 г.

2. Высота главного и вторичного максимума практически одинакова, но иногда второй максимум на $0^m.1$ ниже первого. Это находит подтверждение и в наблюдениях Байера и Паренаго.

3. Эпоха вторичного максимума более неустойчива и подвергается значительным колебаниям.

4. Фотовизуальная величина изменяется от $11^m.0$ в максимуме до $11^m.9$ в минимуме. Отдельные максимумы могут достигать $10^m.9$.

5. Глубина главного вторичного минимума может изменяться в пределах $0^m.5$ звездной величины.

В таблице 7 приводятся оценки блеска переменной.

Таблица 7

<i>J.D</i>	<i>M_g</i>	<i>J.D</i>	<i>M_g</i>	<i>J.D</i>	<i>M_g</i>	<i>J.D</i>	<i>M_g</i>
2434...		2434...		2434...		2434...	
188.3	11.87	323.1	.46	631.2	.73	947.2	10.91
244.2	.28	337.1	.02	632.2	.87	948.2	11.02
245.2	.28	358.1	.41	634.2	.87	951.2	.03
248.2	.16	355.1	.72	635.2	.73	954.2	.24
253.2	.60	551.4	.02	636.2	.87	959.2	.36
254.3	.66	565.3	.66	637.3	.87	960.2	.46
269.2	.02	567.3	.46	646.1	11.02	961.2	.46
270.2	.02	568.3	.46	648.1	10.86	962.2	.66
271.2	.08	569.3	.46	649.1	11.02	974.2	.60
272.3	.11	572.3	.35	653.1	.29	975.2	.41
273.2	.02	573.3	.35	656.1	.28	976.2	.17
277.2	.27	574.3	.28	657.1	.36	977.2	.28
278.2	.12	575.3	.37	658.2	.35	978.2	.07
279.2	.35	576.3	.07	659.2	.46	979.2	.07
281.2	.31	578.3	.29	660.1	.41	980.2	.13
282.2	.32	601.3	.46	679.1	.02	982.2	.17
292.1	.46	603.3	.46	684.1	.02	.2	.12
293.2	.60	618.2	.36	691.1	.36	983.2	.12
294.2	.71	619.2	.41	692.1	.41	984.2	.13
295.2	.53	620.2	.27	706.1	.02	.2	.12
296.2	.46	621.1	.31	708.1	.17	985.2	.07
297.2	.46	.2	.33	715.1	.13	.2	.19
299.1	.37	622.2	.41	903.4	.87	986.2	.12
300.2	.28	623.2	.46	923.3	.28	987.2	.02
301.2	.32	624.2	.60	924.3	.17	988.2	.12
306.2	.12	625.2	.87	925.3	.29	989.2	.19
309.1	.13	628.2	.60	929.3	.28		
321.1	.87	629.2	.46	930.3	11.46		

<i>J. D.</i>	<i>M_g</i>						
2435...		2435...		3435...		3435...	
003.1	.46	012.2	.11	036.1	.87	045.1	.02
004.1	.46	013.1	.28	037.2	.60	046.1	.12
005.1	.16	015.1	.22	038.2	.60	048.1	.24
006.2	.37	017.1	.02	039.1	.87	060.1	.35
007.2	.35	019.2	.02	040.1	.46	061.1	.46
008.1	.19	020.2	.27	041.1	.35	062.1	.46
009.1	.12	032.1	.46	042.1	.15	063.1	.46
010.2	.02	034.1	.87	.1	.32	066.1	.66
011.1	.12	035.1	.87	044.1	.24	067.1	.46

Л И Т Е Р А Т У Р А

1. Н. С. 152.
2. *Bz* 6, 38, 1924.
3. *AN*, 211, 287, 1931.
4. П. З. III, 114, 1931.
5. *Erg. AN. Bd.* 11, № 4, 17, 1918.
6. Циркуляр САО, № 51, 3, 1917.
7. *Sonn. Mitt.* 20.
8. *Ap. J.* 115, 25, 1952.

A. V. СОЛОВЬЁВ
ПЕРЕМЕННАЯ TV КОЗЕРОГА

Эта переменная звезда была исследована мною по 118 пластинкам, очувствлённым к синим лучам и полученным в период с 1940 г. по 1952 г., и по 156 пластинкам панхроматической серии за 1952—1954 г.г. Таким образом для оценок блеска звезды были использованы 274 пластиинки, давшие значительный ряд максимумов.

Звезды сравнения были взяты из работы В. П. Цесевича [1]. Их величина определялась для панхроматической серии привязкой к фотографической системе полярного ряда, для фотографической к SA 136. Полученные результаты даны в таблице 1.

Таблица 1

Звезды сравнения	<i>St</i>	Привязка к <i>NPS</i>	<i>Mg</i>	<i>St</i>	Привязка к <i>SA 136</i>	<i>Jpg</i>
— 12° 5714	0.0	8 ^m .24	8 ^m .31	—	—	—
— 12° 5712	12.4	9 .51	9 .44	—	—	—
— 12° 5716	—	—	—	0.0	11 ^m .25	11 ^m .21
— 12° 5709	21.8	10 .35	10 .24	6.0	11 .49	11 .52
— 12° 5710	28.9	10 .58	10 .65	—	—	—
α 20 ^h 16 ^m .3 δ—12° 20'	40.9	11 .64	11 .67	15.7	12 .22	12 .22

В этой таблице первый столбец дает обозначение звезд сравнения, второй, третий, четвертый, последовательно, — величину звезд сравнения в степенях, после привязки к *NPS* и окончательно принятые обозначения для панхроматической серии. Столбцы пятый, шестой и седьмой — те же обозначения для фотографической серии. В обоих случаях полученные привязкой величины выравнивались степенной шкалой.

Оценки блеска переменной производились для каждой серии пластиинок независимо, и затем наносились на график. Панхроматическая серия пластиинок дала возможность получить три почти полные кривые блеска переменной. Ряд кривых получен и по фотографической серии.

Характерной особенностью этих кривых является длительное нахождение переменной в максимуме блеска, в среднем от 30 до 56 дней. Скорость подъема блеска тоже колеблется в значительных пределах.

делах от 20 до 62 суток. На исходящей ветви и в минимуме времена наблюдается быстрые кратковременные вспышки и падение блеска в пределах от $0^m.5$ до $0^m.8$. Особенность характерна в этом отношении кривая блеска за период с 2433832 до 33912 в 1951 г. Все это противоречит предположению В. П. Цесевича о ее принадлежности к долгопериодическим переменным. Ее нельзя также отнести к полуправильным типам *АГ* Лебедя и *RS* Рака. Повидимому в данном случае мы имеем дело с промежуточным типом между полуправильными и долгопериодическими переменными.

Следует заметить, что период, данный С. Гапошкиным (67^d), совершенно не соответствует действительности [2]. Точно так же не удовлетворяют наблюдавшимся эпохам максимумов и элементы Цесевича [1]. Интересно отметить, что если взять за эпоху максимумов момент его наступления (в случаях плоского максимума), то наблюдавшиеся отклонения за исключением редких случаев являются панменными при элементах:

$$\text{Max. } J. D. 2430235 \pm 150^d.6 \cdot E$$

Это хорошо иллюстрируется таблицей 2, где приводятся все отмеченные нами начала фотографических эпох максимумов.

Таблица 2

Max. J. D	E	O - C	Длительность максимума в сутках	Jpg Mg
2129793	3	+ 10	53 ^d	11 ^m .5
30282.	0	-- 47.	?	11 .5
30901:	1	+ 67	?	11 .5
30991	5	+ 3	29:	11 .2
31299	7	+ 10	50	11 .5
32773	17	- 22	53	11 .5
33187	20	-- 60	28:	11 .5
33836	24	-- 13	?	11 .2
34309	27	+ 8	28	—
34601	29	- 1	56	9 .4
34903	31	0	21:	9 .2
35053:	32	- 1	10:	8 .8

Для эпох максимумов, отмеченных двоеточиями, начало максимума определить не удалось.

Амплитуда в фотовизуальных лучах колеблется в максимуме от $8^m.8$ до $9^m.2$, в минимуме от $10^m.5$ до $11^m.0$. В фотографических лучах амплитуда равна $11^m.2$ — $12^m.6$.

Средний показатель цвета + $2^m.0$.

В таблице 3 даются наши оригинальные оценки панхроматической серии, в таблице 4 — фотографической.

Таблица 3

J. D.	Mg						
2431....	.	2434....	.	2431....	.	2435....	.
188	10.2	575	.2	708	.6	003	.2
244	10.6	576	.2	715	.6	004	.2
245	11.0	578	10.2	717	.8	005	.2
248	11.0	601	.2	720	.6	006	.4
253	11.0	603	.1	721	10.6	007	.2
254	10.8	618	.5	903	9.2	008	.2
269	.2	619	.5	923	.2	009	.2
270	.2	620	.4	924	.2	010	.2
271	.2	621	.4	925	.4	011	.2
272	.4	622	.4	929	.3	012	.6
274	.2	623	.4	930	.4	013	.6
277	.2	624	.4	947	.7	015	.6
278	.2	625	.4	948	9.7	017	.5
280	.2	628	.5	951	10.2	019	.5
281	.0	629	.4	954	.0	020	.4
282	.2	631	.5	959	10.1	032	.5
292	0	632	.7	960	9.7	034	.2
293	.0	634	.4	961	10.1	035	.2
294	.0	635	.8	962	.0	036	.2
295	10.0	636	.6	972	.1	037	.2
297	9.9	637	.4	974	.1	038	.2
299	.9	646	.4	975	1	039	.2
300	.8	648	.4	976	.0	040	.2
301	.8	649	.4	977	.1	041	10.2
306	.6	650	.4	978	.4	042	9.9
309	.4	653	.4	979	.1	043	.9
321	.6	654	.4	980	.2	044	.9
323	.5	656	9.4	982	.2	045	.7
337	9.4	657	10.2	983	.1	046	.5
353	10.4	658	9.9	984	.3	048	9.2
355	.2	659	10.1	985	.2	060	8.8
551	.3	660	.1	986	.2	061	.8
565	.4	666	.2	987	.2	062	.9
567	.2	679	.5	988	.4	063	.8
568	.2	684	.5	989	.3	066	8.8
569	.2	691	.6			067	9.2
572	.0	692	.6				
573	.2	706	.6				
574	.2						

Таблица 4

J. D.	Jpg						
2429...		2430...		2432..		2433...	
793	11.5	906	.6	738	.5	857	11.9
812	.7	911	.6	742	.5	858	11.7
821	.7	912	.5	768	12.2	859	12.0
823	.5	913	11.5	773	11.5	860	11.6
844	.8	931	12.2	790	.5	861	12.2
846	.5	933	.2	801	.5	862	11.4
847	11.5	936	.1	826	.6	864	11.5
865	12.2	938	.2	831	.7	865	12.1
866	.2	939	.4	847	11.8	866	.1
868	.2	960	.2	849	12.2	883	.4
869	0	962	.2	2433...		884	.2
870	.2	968	.1	120	12.0	886	.3
872	.3	972	12.2	132	.2	888	.4
871	12.0	992	11.5	133	.6	891	.2
876	11.8	999	.5	155	.5	892	.3
877	12.2	2431...		173	.3	911	.5
903	.2	021	.2	184	.1	913	.5
906	.2	269	12.2	186	12.1	2434...	
907	12.1	289	11.7	187	11.5	219	.5
924	11.9	321	.5	207	.5	244	.2
927	12.0	321	.5	212	.5	245	.2
2430...		340	.7	214	11.5	248	.2
206	12.2	342	.7	456	12.5	249	.2
207	11.9	345	.7	832	11.5	270	.0
262	12.0	348	.5	836	.2	272	12.1
282	11.5	351	.5	837	.4	279	11.9
604	.6	649	.5	840	.5	280	.9
605	.5	653	11.5	842	.5	300	11.5
606	.5	678	12.2	843	11.5		
904	.5	697	.2	856	12.6		

ЛИТЕРАТУРА

1. Цесевич В. П., П. З. VIII, 333, 1951.
 2 Гапошчин С., Н. А., 115, № 23, 1950.

Г. Е. ЕРЛЕКСОВА

ЦЕФЕИДА SS БОЛЬШОГО ПСА

Эта переменная открыта Хоффмейстером в 1929 г. Наблюдалась Флорей и Оостергоффом. По пластинкам Стальнабадской службы неба пами получено 78 оценок.

Использовались звезды сравнения, указанные на рис. 1.

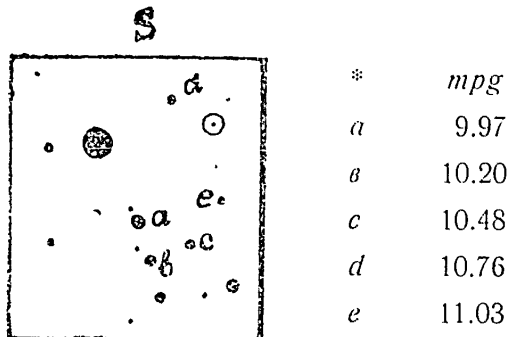


Рис. 1.

Звездные величины звезд сравнения получены привязкой к *Standard of Magnitudes for Astrographic catalogues* [$6^h - 23^{\circ}.5$] по четырем пластинкам с помощью микрофотометра МФ-2. Звездные величины приведены к международной системе и выравнены степенной шкалой.

Обработка наших наблюдений с элементами Оостергоффа $\text{max} = 24916.21 + 12^d.3661 \times E$ [1] показала неудовлетворительность этих элементов. Максимум оказался сдвинутым более чем на $0^m.1$. Исправление элементов путем сдвига начальной эпохи нельзя было сделать, так как в этом случае наиболее уверенный максимум Оостергоффа получил бы большое смещение.

Элементы Флори $\text{max} = 26634.49 + 12^d.3596 \times E$ [2] также оказались не вполне удовлетворительными. Наилучшим образом нашим наблюдениям удовлетворяет первоначальный период Флори [3], равный $12^d.362$. Таблица 1 иллюстрирует вышесказанное.

Таблица 1

Max JD	$O - C_1$	$O - C_{II}$	$O - C_{III}$	Наблюдатель
2121626.64	-0 ^d .19	-2 ^d .21	-1 ^d .25	Оостергофф
21997.59	-0 .22	-2 .05	-1 .16	.
22665.78	+0 .20	-1 .28	-0 .52	.
24916.66	+0 .45	+0 .15	+0 .48	.
25201.53	+0 .90	+0 .75	+1 .02	.
25274.64	-0 .19	-0 .29	-0 .04	.
25546.90	+0 .02	+0 .05	+0 .26	.
25595.79	-0 .56	-0 .49	+0 .30	.
26631.69	-0 .10	+0 .20	+0 .19	Флоря
26745.75	-0 .64	+0 .03	-0 .01	.
27042.33	-0 .85	-0 .03	+0 .17	.
27858.11	-1 .23	+0 .02	-0 .23	.
29700.21	-1 .68	+0 .52	-0 .06	Ерлексова
30046.15	-2 .00	+0 .41	-0 .26	.
32940.30	-1 .51	+2 .41	+1 .18	.
33323.24	-1 .92	+2 .21	+0 .90	.
33631.39	-2 .92	+1 .37	0 .00	.
34101.22	-3 .00	+1 .53	+0 .07	.

В этой таблице приведены фотографические индивидуальные максимумы Оостергоффа и Ерлексовой и визуальные нормальные Флори. Столбец $O - C_1$ дает уклонения от элементов Оостергофа, $O - C_{II}$ — Флори, $O - C_{III}$ от элементов $\max = 33631^d.39 + 12.3620 E$. Последние элементы были использованы для построения средней кривой блеска (рис. 2 и таблица 2).

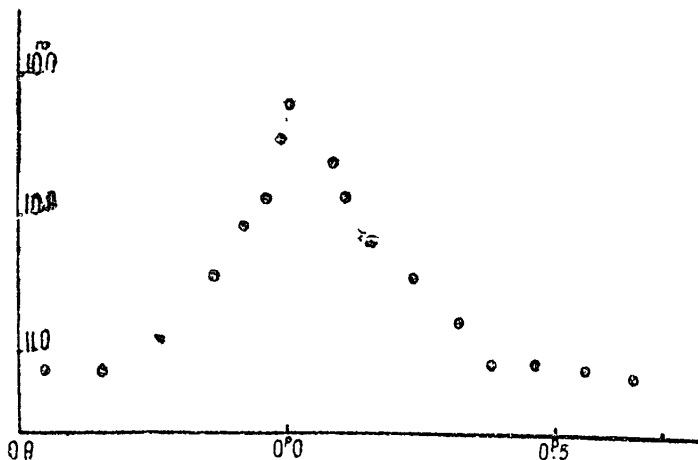


Рис. 2

Таблица 2

Фаза	<i>m</i>	<i>g</i>	<i>n</i>	Фаза	<i>mpg</i>	<i>n</i>	Фаза	<i>mpgr</i>	<i>n</i>	Фаза	<i>mpg</i>	<i>n</i>
0.001	10.09	3	0.239	10.72	7	0.558	> 11.06	9	0.919	10.51	3	
.083	.32	5	.327	10.90	6	.653	> 11.08	8	.959	11	3	
.106	.11	5	.385	11.03	5	.761	10.95	5	.986	.22	4	
156	.60	4	.458	11.04	5	.867	10.73	7				

Средняя кривая блеска дает: $M = 10^m.1$, $m = 11^m.1$, $M - m = 0^r.35$, $O - C = 0^r.00$. Нормальный максимум $JD\ 31937.796$ $E = -137$.

В таблице 3 даются оценки блеска $SS CMa$.

Таблица 3

<i>JD</i>	<i>mpg</i>	<i>JD</i>	<i>mpg</i>	<i>JD</i>	<i>mpg</i>
2429671.212	> 11.0	.273	.7	301.359	11.0
.265	> 11.0	31137.181	.6	302.302	11.0
686.142	10.8:	138.196	.9	2133323.214	10.3
166	.9	139.212	11.0	328.179	11.2
689.138	.5	170.165	10.5	330.201	.2
.163	.5	173.157	.6	.211	.3
233	.5	.185	5	334.181	10.4
691.185	.6	531.149	.3	354.144	11.0
.276	.8:	554.159	.3	.199	.2
692.226	.8	877.160	.3	356.149	.0
693.160	.9	880.168	11.0	377.140	.2
.182	.9	32896.114	11.2	.165	.1
.205	11.1	.456	11.0	381.165	.0
694.258	11.0	910.295	11.3	631.367	10.1
697.119	11.0	.328	.3	.394	10.0
.191	> 11.0	941.285	.6	654.340	.7
.240	10.9:	943.272	.9	680.264	6
700.131	10.2	971.203	> 11.0	734.196	.8
.210	.1	972.211	11.0	34.34.301	11.0
30042.156	11.0	.240	11.0	040.312	10.1
046.149	10.2	979.209	10.6	063.223	.5
.190	10.3	.244	.9	100.190	6
053.213	11.0	993.141	11.0:	101.215	.2
056.227	10.9	.176	11.0	342.447	11.0
057.194	.6	33274.336	10.4	449.193	10.8
.219	6	275.381	.7	833.137	10.8
.240	.7				

ЛИТЕРАТУРА

1. Oosterhoff, HB, 900 1937.
2. И. Ф. Флоря. Труды ГАИШ, 8 вып. 2, 1937.
3. И. Ф. Флоря. Ташк. Цир., 15, 1933.

И. М. ШАХОВСКОЙ

ОБ ОДНОЙ НЕИССЛЕДОВАННОЙ ПЕРЕМЕННОЙ

В 1954 г. Е. Гейер [1] сообщил об открытии им новой переменной с координатами $\alpha = 17^h34^m39^s$, $\delta = +54^\circ55'.5$ (1900.0). По 47 пластиинкам 1929—1938 г.г. он нашел амплитуду изменения блеска, равную $10^m.8 — 12^m.3$.

Эта звезда была просмотрена нами на 236 пластиинках службы неба Сталинабадской обсерватории, снятых в 1941—1952 г.г.

Звездная величина звезд сравнения (см. рис. 1) определялась глазомерным сравнением со звездами *BSD* [2] в *SA* 16. Таким образом, полученные величины выражены в шкале *HGD*. После выравнивания их степенной шкалой были найдены следующие значения:

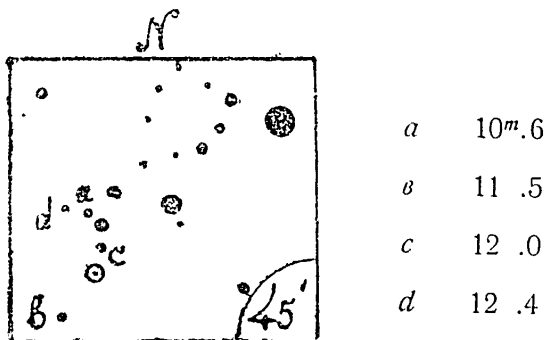
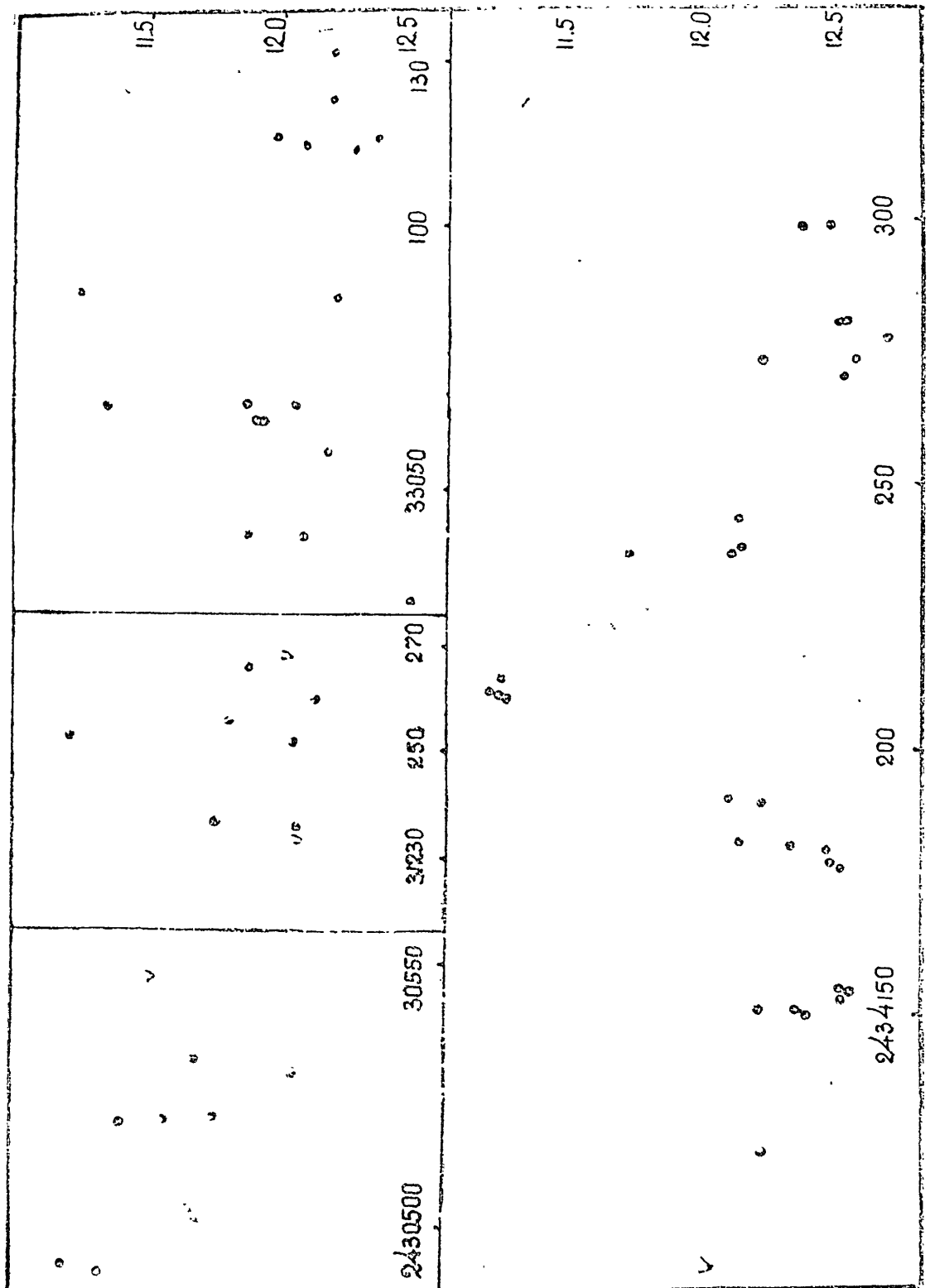


Рис. 1.

По нашим наблюдениям звезда менялась между $11^m.1$ и $12^m.6$. Расхождение этих пределов и данных Гейера объясняется, очевидно, различием шкал. Изменения блеска весьма быстрые — до $0^m.7$ за 1^h20^m . Поэтому непрерывной кривой блеска построить не удается. Блеск меняется явно неправильно, так как наряду с быстрыми колебаниями наблюдаются длительные остановки и медленные плавные изменения. Продолжительности отдельных циклов заключены в весьма широких пределах — от нескольких часов до десятков и даже, быть может, сотен дней (см. рис. 2).

Судя по оценкам на немногочисленных панхроматических пластиинках, звезда не красная — белая или желтоватая. Возможно она относится к типу *RW Aurigae* (или $\lambda X Oph$), как единственному типу неправильных переменных, показывающих столь быстрые изменения блеска.



Plt. 2.

Ниже приводятся все наши наблюдения переменной. Знаком ! отмечены средние значения, полученные из оценок на двух одновременно снятых пластинах при хорошем согласии их между собой.

<i>J. D.</i>	<i>m</i>	<i>J. D.</i>	<i>m</i>	<i>J. D</i>	<i>m</i>
2430...		2431...		2432...	
166.218	12 ^m .20:	267.233	(12 ^m .03	.256	.76!
194.240	11 .63	283.199	(12 .03	.318	11 ^m .85
195.261	.72	579.281	(11 .76	772.230	12 .03
.297	11 .85	586.301	(.68	791.260	11 .85:
.325	12 .20:	587.248	(11 .86	794.159	(11 .50
198.310	11 .97!	608.271	(12 .03	2433...	
203.235	12 .03:	614.238	12 .20:	027.376	12 .46
204.239	11 .68	639.191	11 .76:	040.386	12 .07!
.272	.72!	647.201	11 .85:	.412	11 .85
491.358	.21!	880.507	12 .20	056.398	12 .15
492.268	.11!	889.455	(12 .03	062.246	(11 .50
519.212	.34!	986.252	(11 .68	.277	11 .89
520.292	.52!	991.225	12 .20:	065.249	11 .33
521.295	.72	994.206	(12 .20	.308	12 .04
528.236	12 .02	2432...		.339	11 .85
531.276	11 .63	028.421	(11 .76	085.240	12 .20
547.251	.50	031.420	(11 .68	086.255	11 .24
637.181	.68:	033.351	(12 .11	113.219	12 .29
643.226	.68:	058.290	11 .68	114.444	.10
829.549	12 .00!	061.302	12 .15	117.251	12 .37!
844.293	.20:	066.269	11 .72	.283	11 .98
.328	(.03	686.302	12 .24	122.242	12 .20
853.278	.29	700.306	11 .94:	132.441	12 .20
.308	11 .94:	709.375	12 .29	155.179	(11 .94
869.241	(11 .68	720.292	12 .37	176.199	12 .03:
871.231	(12 .20	728.231	(11 .85	177.159	12 .00
902.245	(.03	730.326	12 .24:	.186	11 .85
2431...		734.254	12 .05!	179.208	.89
208.296	(11 .50	.355	11 .98:	180.239	11 .87!
232.261	(12 .03	737.269	11 .85	.315	12 .29
235.246	12 .03	741.274	12 .37	183.190	12 .29
236.280	11 .72	.308	(.20	214.144	(11 .50
252.228	(12 .03	743.260	(.15	382.341	12 .15!
.257	12 .02	762.278	.20:	.415	.03
254.204	11 .15:	766.331	.24:	415.286	.20:
255.230	11 .76:	767.231	12 .29	417.334	.33!
259.246	12 .11:	768.331	11 .85:	.362	.55
265.236	11 .85	770.226	11 .81	439.292	.24

<i>J. D.</i>	<i>m</i>	<i>J. D.</i>	<i>m</i>	<i>J. D.</i>	<i>m</i>
2433...		2433...		2434...	
445.311	.55	882.206	(.50	178.338	.50
451.388	(.46	.228	.40!	179.335	.46
455.358	12 .11	.251	.55	181.372	.46:
823.274	11 .94	886.211	12 .50	182.307	.32
.297	12 .20	889.235	11 .72.	183.372	.11
825.319	.11	890.224	.85	190.357	.20:
826.301	12 .18!	.247	11 .90!	191.358	12 .07
.324	11 .94	892.235	12 .11	211.286	11 .20
832.298	12 .15	896.196	11 .89	.306	.18!
837.333	.20	.219	12 .18!	212.392	.15
840.313	.45!	915.178	11 .68	214.319	.20
843.410	.24	916.172	11 .68:	237.178	11 .70!
858.235	.50	.194	(12 .03	.228	12 .08!
.258	.55	919.179	11 .15:	238.269	.11!
860.281	.63	.201	11 .24!	243.254	.11
.304	.37	2434...		244.247	.11
.328	.63	103.394	(12 .03	271.178	.50
862.240	(.37	124.376	.20	274.152	.56
863.256	(.46	150.354	.37	.176	.20
.279	(.37	151.323	.33	278.174	.68
865.235	.55:	.346	.18!	281.146	.50!
866.263	.46:	153.368	.50	.170	.50
.286	(.29	155.242	.52!	299.108	.35
868.338	(.37	.366	.50	.139	12 .46

J U N T E P A T Y P A

1. E Geyer, *Nachrichtenol. astron. Zentralstelle 8*, № 5, 1954.
2. A Schwassmann u. P. van Rhijn, *Bergedorfer Spektral—Durchmusterung*, B. 1, 1935.

С О Д Е Р Ж А Н И Е

	Стр.
<i>Сергей Владимирович Орлов</i>	3
<i>Катасёв Л. А.</i> Некоторые закономерности в кометах, метеорах и астероидах	5
<i>Иванников В. И.</i> О подборе проявителя для фотографических снимков метеоров	12
<i>Шаховской Н. М.</i> Цефенды <i>VW</i> и <i>VZ</i> Кормы	14
<i>Соловьёв А. В.</i> Фотографическое исследование <i>RX</i> Козерога . .	22
<i>Соловьёв А. В.</i> Переменная <i>TV</i> Козерога	28
<i>Ерлексова Г. Е.</i> Цефенда <i>SS</i> Большого Пса	32
<i>Шаховской Н. М.</i> Об одной неисследованной переменной . . .	35

Печатается по постановлению
редакционно-издательского совета
Академии наук Таджикской ССР

Редколлегия: А. В. Соловьев (отв. редактор), О. В. Добровольский,
Л. А. Катасев, А. М. Бахарев (ответ. секретарь редколлегии).

Техн. редактор П. Фролов. Корректор Л. А. Полисская.

КЛ 02956. Подписано к печати 10/XI-1955 г. Объем бум. л. 2,5, уч. изд. л. 3,42.
Заказ № 2581. Тираж 600 БЕСПЛАТНО.

Сталинабад, Полиграфкомбинат.